

С 343б + С 341а  
Н-295

3 IV 1967

ОБЪЕДИНЕННЫЙ  
ИНСТИТУТ  
ЯДЕРНЫХ  
ИССЛЕДОВАНИЙ

Дубна



P4 - 3174

И.Ж. Петков

О РОЛИ ВИРТУАЛЬНЫХ ПЕРЕХОДОВ  
В УПРУГОМ РАССЕЯНИИ ЭЛЕКТРОНОВ НА ЯДРАХ

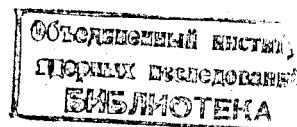
ЛАБОРАТОРИЯ ТЕОРЕТИЧЕСКОЙ ФИЗИКИ

1967.

P4 - 3174

И.Ж. Петков

4822/1, №2  
О РОЛИ ВИРТУАЛЬНЫХ ПЕРЕХОДОВ  
В УПРУГОМ РАССЕЯНИИ ЭЛЕКТРОНОВ НА ЯДРАХ



1. В последние годы был накоплен большой материал по экспериментальному и теоретическому изучению рассеяния быстрых электронов на ядрах. Учет конечных размеров ядер (в первую очередь, введение параметра  $R \sim A^{1/3}$ ) сразу привело к качественному объяснению дифракционного характера сечения упруго-рассеянных электронов. Результатом учета искажения  $1/2$  электровной волны в кулоновском поле ядра явилось исчезновение нулей и правильное расположение минимумов дифференциального сечения, а введение параметра  $b$ , учитывающего "размазку поверхности" ядра, дало правильное поведение сечения при больших углах рассеяния. Можно поставить вопрос, насколько параметры  $R$  и  $b$  сохранят свое значение (они могут оказаться также зависящими от энергии) при увеличении экспериментальной точности и расширении области измеримых углов и останутся ли вообще они единственными параметрами. Уже сейчас в некоторых случаях  $1/2$  для более тонкой подгонки кривых дифференциального сечения под экспериментальные точки вводится трехпараметрическое распределение плотности  $\rho(r) = \rho_0(1 + w \frac{r^2}{R^2})(1 + \exp \frac{r-R}{b})^{-1}$ . Природа третьего параметра  $w$  неясна, тем более, что при  $w < 0$  плотность распределения заряда при больших  $r$  может стать отрицательной. Введение дополнительных параметров нельзя считать оправданным (это означало бы параметризацию сечения) без изучения роли виртуальных возбуждений ядра.

В настоящей работе рассмотрен вклад в сечение упругого рассеяния от виртуальных переходов в ядре в рамках вибрационной модели ядра. Вклад от первого  $2^+$  уровня в четных ядрах сильно зависит от угла рассеяния и является существенным в области минимумов сечения. Его относительная величина составляет примерно 1% при небольших углах рассеяния и больше 10% в области дифракционных минимумов сечения и больших углах рассеяния.

2. Амплитуду рассеяния электронов с возбуждением  $N$ -го состояния ядра  $N^{20}$  запишем в виде <sup>/3/</sup> (см. там же обозначения):

$$f_{N0}(\theta) = \frac{E}{2\pi} (U_f^* U_1) \int g(\vec{r}) e^{i\vec{q}\vec{r} + i\Phi(\vec{q}, \vec{r})} \langle N | V(r, a) | 0 \rangle d^3 r, \quad (1)$$

где

$$V(r, a) = Z e^{-2} \int \frac{\rho(\vec{r}', a)}{|\vec{r} - \vec{r}'|} d^3 r',$$

$$\rho(r, a) = \rho_0 (1 + \exp \frac{r - R - \Delta R(a)}{b}), \quad \Delta R(a) = R \sum_{\lambda \mu} a_{\lambda \mu} Y_{\lambda \mu}(\Omega),$$

а функции  $g$  и  $\Phi$  учитывают искажение электронной волны в кулоновском поле ядра.

Дифференциальное сечение, соответствующее (1), будет

$$\frac{d\sigma}{d\Omega}(0 \rightarrow N) = \left( \frac{d\sigma}{d\Omega} \right)_M |\langle N | \rho(q, a) | 0 \rangle|^2, \quad (2)$$

$$\rho(q, a) = \frac{q^2}{4\pi} \iint \frac{\rho(\vec{r}, a)}{|\vec{r} - \vec{r}'|} g(\vec{r}) e^{i\vec{q}\vec{r} + i\Phi(\vec{q}, \vec{r})} d^3 r' d^3 r. \quad (3)$$

Отметим, что волновые функции ядра, как и плотность распределения заряда  $\rho(r, a)$ , зависят от коллективной переменной  $a$ .

В дальнейшем удобнее будет ввести сечение, просуммированное по всем возбужденным состояниям ядра  $N$ , т.е.

$$\sigma_0(\theta, q, \omega) = \left( \frac{d\sigma}{d\Omega} \right)_M \sum_N \delta(\omega - E_N) |\langle N | \rho(q, a) | 0 \rangle|^2 \equiv \left( \frac{d\sigma}{d\Omega} \right)_M K(q, \omega). \quad (4)$$

Легко показать, что имеет место соотношение

$$K(q, \omega) = -\frac{1}{\pi} \operatorname{Im} G(q, \omega + i\eta), \quad G(q, \omega) = \int_{-\infty}^{\infty} G(q, t) e^{i\omega t} dt,$$

$$iG(q, t) = \theta(t) \langle \rho^+(q, a(t)) \rho(q, a) \rangle + \theta(-t) \langle \rho(q, a) \rho^+(q, a(t)) \rangle.$$

Функция  $G(q, t)$  после разложения  $\rho(q, a)$  до второго порядка по  $a$  выражается через функции типа  $T \langle a_1(t) a_2 \rangle$  и  $T \langle a_1(t) a_2(t) a_3(t) a_4 \rangle$ , которые легко находятся в вибрационной модели ядра (см. приложение). Окончательное выражение для  $\sigma_0(\theta, q, \omega)$  имеет вид:

Приведем несколько численных значений отношения  $\delta(x) = \frac{\Delta(x)}{|F(x)|^2} \cdot \delta(0) \approx 1\%$ ,  $\delta(4,5) \approx 3\%$ ,  $\delta(7,5) \approx 10\%$ . Второе ( $x \approx 4,5$ ) и третье ( $x \approx 7,5$ ) значения выбраны как раз в районе первого и второго минимума сечения по углу рассеяния ( $\theta = 2 \arcsin \frac{x}{2R}$ ).

Величина  $\Delta(x)$  при  $x \leq 2$  имеет отрицательный знак и составляет сравнительно небольшую долю от основного члена ( $\approx 1\%$ ). С ростом  $x$  функция  $\Delta(x)$  меняет знак, а отношение  $\delta(x)$  возрастает примерно как  $x^2$  и в районе второго минимума ( $x \approx 7,5$ ) составляет больше чем 10%. В расчетах нами были использованы гидродинамические значения<sup>/5/</sup> для  $B_2$  и  $C_2$ , и поэтому можно ожидать сильных отклонений приведенных оценок от ядра к ядру. Отметим, что виртуальные переходы в этой модели оказались разрешены только через уровни с четными  $\ell$ , так что следующим уровнем, который может участвовать в них, является  $4^+$ . Вклад следующих членов разложения плотности составляет примерно 1% от  $\Delta(x)$ , и ими можно пренебречь.

По-видимому, имеющее место в некоторых случаях<sup>/2/</sup> расхождение теории с экспериментом в области второго дифракционного минимума и при больших углах рассеяния можно отнести за счет указанного механизма, не привлекая дополнительных параметров плотности распределения ядер.

## ПРИЛОЖЕНИЕ

Функция  $K(q, \omega)$  имеет вид

$$K(q, \omega) = \{|\rho(q, 0)|^2 + (\rho(q, 0) \sum_{\ell m} \langle 0 | \alpha_{\ell m} \alpha_{\ell' m'} | 0 \rangle + \text{k.c.}) \delta(\omega) + \\ + \sum_{LM} f_{LM}^* f_{LM} \left[ -\frac{1}{\pi} \text{Im } G^{(1)}(\omega + i\eta) \right] + \sum_{LL'} f_{LL'}^* f_{LM'}^* f_{LM} \left[ -\frac{1}{\pi} \text{Im } D^{(1)}(\omega + i\eta) \right], \quad (1)$$

$$G^{(1)}(\omega) = \int_{-\infty}^{\infty} G^{(1)}(t) e^{i\omega t} dt, \quad D^{(1)}(\omega) = \int_{-\infty}^{\infty} D^{(1)}(t) e^{i\omega t} dt$$

Для примера покажем, как определяется функция  $iG_{\ell m}^{(1)} = T \langle \alpha_{\ell m}(t) \alpha_{\ell' m'} \rangle$ . Пользуясь уравнением движения, получим систему

$$\frac{dG^{(1)}}{dt} = -\frac{1}{B\ell} G^{(2)}(t);$$